

УДК 666.97:517.9

**СРАВНИТЕЛЬНЫЙ АНАЛИЗ  
РЕЗУЛЬТАТОВ КОМПРОМИССНОЙ ОПТИМИЗАЦИИ  
АВТОКЛАВНЫХ ГАЗОБЕТОНОВ Д-800  
РАЗЛИЧНЫХ КЛАССОВ ПРОЧНОСТИ**

**Вознесенский В.А., Гаврилюк В.П., Ляшенко Т.В.**

(Одесская государственная академия строительства и архитектуры)

**На 9-факторных полях 5 свойств газосиликата найдены компромиссные оптимальные решения: для класса В-7.5 без ограничений на расход ресурсов и для  $B \geq 2.5$  при минимизации энергозатрат.**

**Введение.** В многокритериальных задачах материаловедения поиск компромиссных оптимальных рецептурно-технологических (РТ) решений методом итерационного случайного сканирования полей свойств материала [1] дал нетривиальные результаты при исследовании модифицированных полимерных композитов, комплексных добавок, сухих строительных смесей и других многокомпонентных систем.

Большинство задач формулировалось по версии «Q» (*Quality*), когда на РТ-факторы не накладываются никакие дополнительные прямые ограничения (кроме нормализованных границ исследуемых диапазонов,  $-1 \leq x_i \leq +1$ ), а управление ими нацелено только на поиск компромисса между критериями качества материала. При большом числе РТ-факторов перспективно решение задач версии «QR» (*Quality+Resources*), которая в настоящее время разрабатывается и опробуется [2, 3]. Она отличается тем, что разыскиваемый компромисс определяется не только критериями качества материала, но и минимизируемыми расходами ресурсов по некоторым входящим в ЭС-модели факторам, в частности, энергоемким или удлиняющим сроки получения кондиционного материала. С математической точки зрения версии «Q», «QR» и «R» по сути не имеют различий.

В данной работе для газобетона Д-800 (плотность  $750 \leq \gamma \leq 850 \text{ кг}/\text{м}^3$ ) сравниваются два варианта компромиссной оптимизации предела прочности на изгиб  $R_b$  (МПа), предельной растяжимости  $\varepsilon$  (мм/м) и теплопроводности  $\lambda$  (мВт/(м·К)): А – наивысший класс по прочности В-7.5 (предел прочности на сжатие  $R_c \geq 9.64 \text{ МПа}$ ) без ограничений на расход ресурсов; Б – соответствие минимальному нормативу по прочности (класс 2.5, экспериментальная прочность  $R_c \geq 3.21$ ) при минимизации расхода ресурса по трем энергоемким факторам.

**Условия эксперимента и моделирование.** Кафедра ПАТСМ ОИСИ и НИПИСиликатобетон (Таллинн) провели комплексное исследование влияния РТ-факторов на свойства и структуру автоклавного газобетона. Такое сотрудничество обеспечило [4] с одной стороны, обоснованное управление изготовлением газобетонных блоков в производственных условиях и тщательное определение физико-механических свойств материала, с другой – определение параметров порового пространства и теплофизических характеристик газосиликата методами лазерной порометрии (а.с. ОИСИ) и построение ЭС-моделей при корректном планировании многофакторного эксперимента.

На основании экспертизы были выбраны многочисленные критерии качества готового газосиликата и его ячеистой структуры, а также девять РТ-факторов  $X_i$  и диапазоны их варьирования в эксперименте,  $X_0 \pm \Delta X_i$  (табл. 1). Синтезирован 56-точечный план эксперимента со структурой Рехтшафнера, позволяющий оценить 55 коэффициентов в квадратичных ЭС-моделях. План близок к насыщенному и несимметричен, но «заменяет» планы ПФЭ  $2^9$  и  $3^9$ , содержащие соответственно 512 и 19683 опытов.

По 56 вариантам технологии были изготовлены газосиликатные блоки, из них выпиливались образцы сечением  $4 \times 4$  см. Среди критериев качества определены, в частности, уровни  $\gamma$ ,  $\lambda$ ,  $R_c$ ,  $R_b$  и  $\epsilon$ .

Таблица 1. РТ-факторы и диапазоны их варьирования

$X_i$	Рецептурно-технологический фактор	Обозначение	Центральный уровень $X_0$	Интервал варьирования $\Delta X$
$X_1$	Растекаемость растворной смеси по Суттарду, см	D	27	4
$X_2$	Влажность песка при совместном помоле с известью, %	$w_s$	5	3
$X_3$	Удельная поверхность песка, $m^2/kg$	$S_s$	250	100
$X_4$	Изотермическая выдержка в автоклаве, час	$\tau$	8	4
$X_5$	Рабочее давление пара в автоклаве, МПа	p	1	0.2
$X_6$	Дозировка алюминиевой пудры (% от сухой массы)	A	0.07	0.03
$X_7$	Активность смеси (содержание CaO в смеси извести и песка), %	$a_{CaO}$	17	3
$X_8$	Температура воды затворения, $^{\circ}C$	$t_w$	35	10
$X_9$	Количество цемента (% от всей массы)	C	10	10

Построен комплекс квадратичных ЭС-моделей (табл. 2), использованных [3, 5] в вычислительных экспериментах по оценке роли факторов, поиску компромиссов и в других задачах анализа и оптимизации газосиликата.

**Вариант А – наивысший класс по прочности В-7.5 без ограничений на расход ресурсов.** Компромиссно минимизируется теплопроводность и максимизируются уровни свойств ( $R_c$  и  $\varepsilon$ ), определяющих трещиностойкость газосиликата Д-800. Результаты трех итераций (по 2 этапа) показаны на рис. 1; опущены начальные этапы, на которых

Таблица 2. Оценки коэффициентов моделей для пяти свойств

$b$	$\gamma$	$R_c$	$R_b$	$\varepsilon$	$\lambda$	$b$	$\gamma$	$R_c$	$R_b$	$\varepsilon$	$\lambda$
	кг/м <sup>3</sup>	МПа	МПа	мм/м	мВт/м·К						
$b_0$	621	5.38	1.92	0.86	131	$b_{23}$	-12	0.30		-0.02	
$b_1$	-30	-0.39	-0.06	0.04		$b_{24}$		0.22	-0.03		
$b_2$		0.29	0.12	0.02	5	$b_{25}$			0.03		
$b_3$	-31	-0.54	0.13		-9	$b_{26}$	-5		0.03		
$b_4$		0.18	0.07	0.03		$b_{27}$	-6	-0.23	-0.04		
$b_5$		-0.20	0.05	0.08		$b_{28}$	4	-0.21			
$b_6$	-121	-2.38	-0.50	0.04	-21	$b_{29}$	-3	-0.24	-0.03		
$b_7$	-11	0.46	0.03	-0.03		$b_{34}$		-0.20	-0.08	-0.02	
$b_8$	-21	-0.31	-0.07		-4	$b_{35}$		-0.43	-0.02		
$b_9$	24	0.96	0.22	-0.04	6	$b_{36}$	4	0.12	0.09	0.02	
$b_{11}$						$b_{37}$	-5				5
$b_{22}$	9	-0.48	-0.33	-0.13		$b_{38}$			0.02		
$b_{33}$	26					$b_{39}$		0.39	0.03	0.04	-2
$b_{44}$			0.13			$b_{45}$		-0.29	-0.15		
$b_{55}$			-0.10			$b_{46}$			-0.04		
$b_{66}$		0.74				$b_{47}$		0.26	0.15	0.02	2
$b_{77}$			0.26	0.06		$b_{48}$			0.02		
$b_{88}$			0.13		17	$b_{49}$			0.04	-0.02	
$b_{99}$	-27					$b_{56}$			-0.05		
$b_{12}$		0.23				$b_{57}$		0.53	0.09		-3
$b_{13}$	10	0.22				$b_{58}$					
$b_{14}$			-0.10	-0.02	-3	$b_{59}$		0.33	0.04	-0.03	
$b_{15}$		-0.30	-0.08			$b_{67}$					
$b_{16}$	-3		-0.03			$b_{68}$	7	0.18	0.05		
$b_{17}$	-8	0.13				$b_{69}$		-0.51	-0.10	-0.03	3
$b_{18}$		-0.21			-4	$b_{78}$	8	0.19	-0.06	-0.02	3
$b_{19}$	-7	-0.14	0.03		4	$b_{79}$	14	-0.77	-0.13		
						$b_{89}$	-3	0.41	0.01	0.01	-5

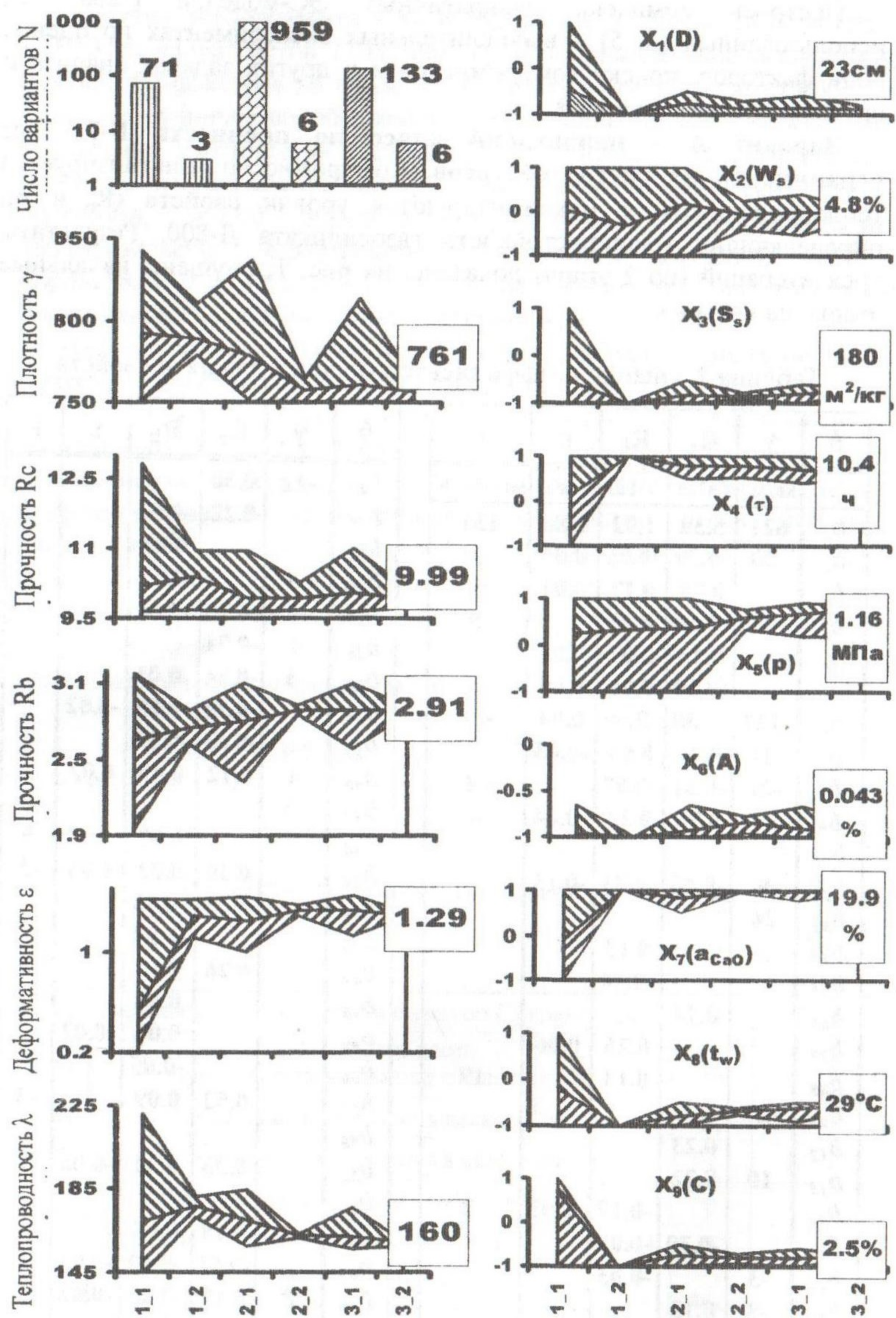


Рис. 1. Этапы оптимизации по варианту А

генерируются 10000 случайных РТ-ситуаций и 512 граничных,  $x_i = \pm 1$ .

На этапе «1-1» выполнены нормативы Д-800 и В=7.5 ( $R_c = 9.64$  МПа) для газобетона, получаемого по 71 РТ-варианту, причем, судя по интервалам критериев качества (рис. 1, слева), в процессе поиска компромисса возможно снижение коэффициента теплопроводности  $\lambda$  с 221 (верхняя граница диапазона этапа «1-1») до 169 (среднее диапазона) при повышении  $R_b$  с 1.9 до 2.7 и  $\varepsilon$  с 0.2 до 0.5. Эти компромиссные уровни были достигнуты уже на этапе «1-2». При этом оказалось, что факторы образовали 3 группы. Первая – с полным расходом имеющегося в эксперименте ресурса,  $x_i = +1$  (время выдержки в автоклаве  $\tau = 12$  ч и активность смеси  $a_{CaO} = 14\%$ ). Во вторую вошли 5 факторов, для которых целесообразен нижний уровень  $x_i = -1$  (растекаемость смеси D, удельная поверхность песка  $S_s$ , количество алюминиевой пудры A и цемента C, температура воды  $t_w$ ). Для двух оставшихся факторов тенденции оптимизации на первой итерации не определились.

Две следующие итерации привели к изменению всех критериев качества до лучших уровней, чем на этапе «1-2», и к уточнению значений факторов, без принципиальных изменений их уровней (рис. 1); исключение составляет  $x_5$  (рабочее давление в автоклаве, которое приблизилось к верхнему уровню).

Таким образом, в исследованных диапазонах 9-ти факторов можно получить газосиликат Д-800 высшей марки по прочности В-7.5 с улучшенными показателями теплозащиты и трещиностойкости.

**Вариант Б – соответствие нормативу прочности (не хуже В-2.5) при минимизации расхода ресурсов по энергоемким факторам.** Энергоемкими факторами можно считать время изотермической выдержки в автоклаве  $x_4$  ( $\tau$  в диапазоне варьирования возрастает в три раза – табл. 1), давление пара в автоклаве  $x_5$  (возрастает в 1.5 раза) и расход цемента  $x_9$  (глобально энергоемкий ресурс), который достигает 20% от массы сухой смеси. Включая в задачу поиска компромисса эти 3 фактора, входящие в комплекс ЭС-моделей, нет смысла переходить к натуральным переменным  $X_4$ ,  $X_5$  и  $X_9$  поскольку «ценность» единицы их измерения зависит от ценовой политики, конкурентоспособности, региона... Естественно, минимизация  $x_4$ ,  $x_5$  и  $x_9$  (в пределе до -1) приведет к снижению качества Д-800, но нижняя граница норматива по прочности В-2.5 должна быть выполнена.

Результаты трех итераций для варианта Б показаны на рис. 2. На этапе «1-1» в связи с пониженными требованиями к классу по прочности на сжатие нормативы выполнены для большего количества РТ-ситуаций – 560. Особенность этапа «1-2» варианта «Б» в том, что уровни трех компромиссно оптимизируемых энергоемких фактора сниже-

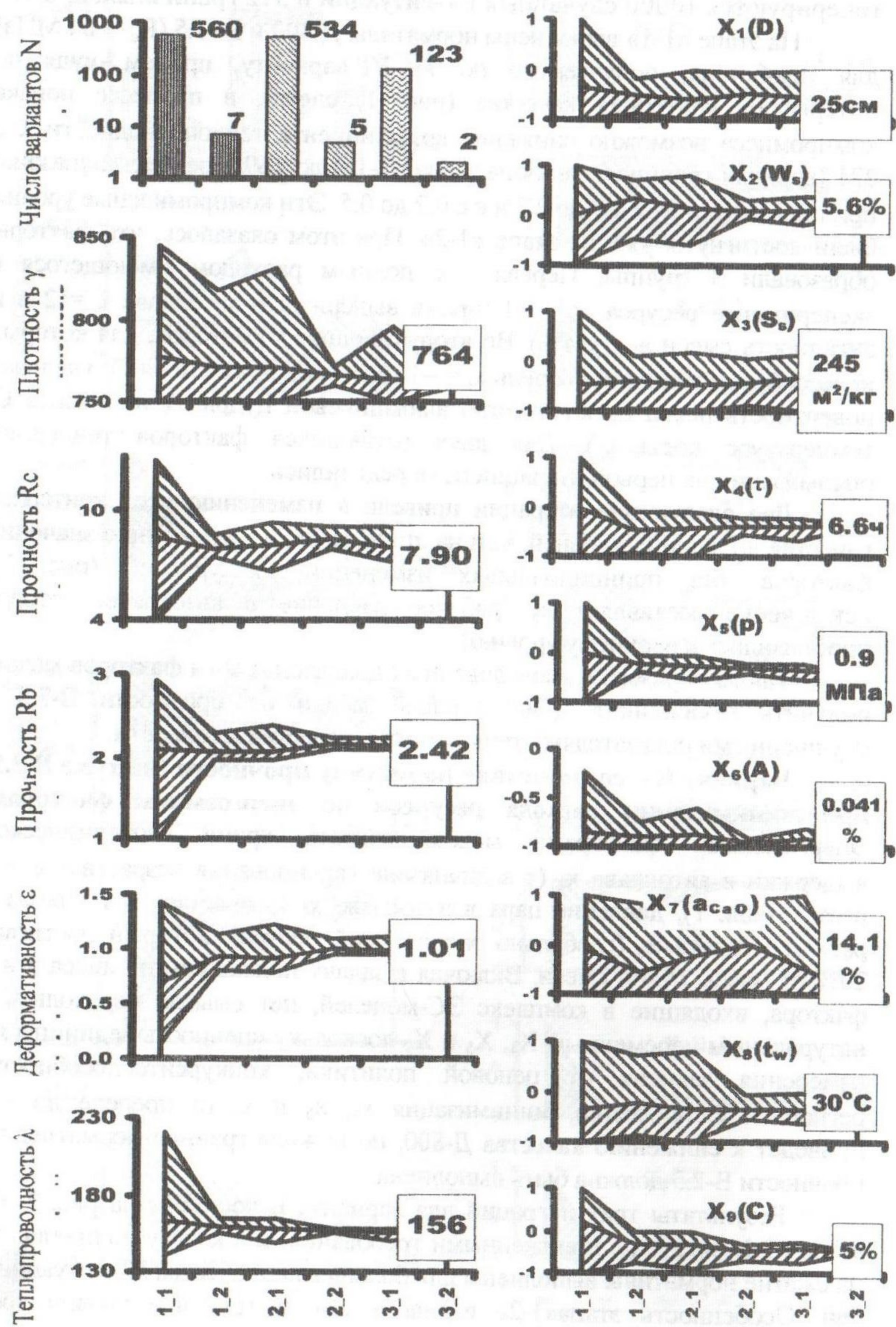


Рис. 2. Этапы оптимизации по варианту Б

ны до  $x_4 = x_5 = x_9 = 0$  (в диапазоне варьирования – вдвое). При этом компромиссно улучшены уровни  $\lambda$  (с 221 до 164),  $R_b$  (с 1.2 до 2.3) и  $\epsilon$  (с 0.1 до 0.7). Следует отметить, что причинно обусловленная корреляционная связь пределов прочности  $R_b$  и  $R_c$  привела к росту последнего до среднего уровня 7.9 МПа (то есть к выполнению норматива В-5).

На последующих итерациях исходные границы энергоемких факторов последовательно снижались – сначала до  $x_4 = x_5 = x_9 = -0.2$ , а потом до  $x_4 = x_5 = x_9 = -0.3$  (справа на рис. 2), причем удалось повысить уровень критериев, связанных с трещиностойкостью газосиликата.

**Сравнение результатов компромиссной оптимизации газосиликата по вариантам «А» и «Б».** Уровни пяти критериев качества, при которых на этапах «3-2» закончен процесс компромиссной оптимизации, приведены в табл. 3. Они соответствуют материалу, получаемому по девятифакторным РТ-режимам, показанным в табл. 4; все натуральные значения  $X_i$  в столбцах «рабочий» получены как средние этапов «3-2», округленные до уровней, доступных для технологического управления.

Как отмечалось, прочность на сжатие по варианту «Б» на два класса выше, чем норматив В-2.5, учтенный на этапе «1-1», что свидетельствует о нецелесообразности производства низкопрочных бетонов плотностью 800 кг/м<sup>3</sup> по исследованному множеству РТ-режимов. Характеристики, связанные с трещиностойкостью газобетона, естественно снизились, но  $R_b$  существенно в меньшей степени (за счет компромиссной оптимизации).

Таблица 3. Результаты двух вариантов компромиссной оптимизации – уровни пяти критериев качества

Вариант компромиссной оптимизации	Критерий качества				
	$\gamma$ , кг/м <sup>3</sup>	$R_c$ , МПа	$R_b$ , МПа	$\epsilon$ , мм/м	$\lambda$ , мВт/(м·К)
А: Д-800, В-7.5	756	10.0	2.9	1.3	160
Б: Д-800, В-2.5	764	7.9	2.4	1.0	156
Изменение (%) от «А» к «Б»	незначимо	-21	-17	-22	незначимо

Изменение норматива позволяет существенно снизить расходы (табл. 4) на автоклавную обработку газосиликата – время выдержки сокращается на 3.8 ч (почти на интервал варьирования  $\Delta X_4$ ), а давление пара на 0.26 МПа (2.6 атм или на 125%  $\Delta X_5$ ). Уменьшается и расход извести (за счет снижения активности смеси почти на  $2\Delta X_7$ ), однако, в то же время

**Таблица 4. Результаты двух вариантов компромиссной оптимизации – уровни девяти РТ-факторов**

Факторы	Вариант «А»		Вариант «Б»		Превышение «А» над «Б»	
	$x_i$	рабочий	$x_i$	рабочий	$x_i$	рабочий
$X_1$	D	-0.90	23	-0.43	25	0.47
$X_2$	$w_s$	-0.05	4.8	0.20	5.6	0.25
$X_3$	$S_s$	-0.70	180	-0.05	245	0.65
$X_4$	$\tau$	0.60	10.4	-0.36	6.6	-0.96
$X_5$	p	0.79	1.16	-0.48	0.90	-1.27
$X_6$	A	-0.89	0.043	-0.95	0.041	незначимо
$X_7$	$a_{CaO}$	0.98	19.9	-0.95	14.1	-1.93
$X_8$	$t_w$	-0.55	29	-0.51	30	незначимо
$X_9$	C	-0.75	2.5	-0.49	5.0	0.26
						2.5

возрастает расход энергии на помол песка, удельная поверхность которого должна быть повышена с 180 до 245 м<sup>2</sup>/кг, и расход цемента с 2.5 до 5%.

**Заключение.** Новая версия вычислительных экспериментов, дополнительно включающая минимизацию расхода ресурса по ряду факторов, расширяет возможности поиска компромиссных оптимальных РТ-решений. Окончательно такие решения принимаются технологом с учетом экономических, конъюнктурных и иных локальных условий.

### Литература

1. Вознесенский. В.А., Ляшенко Т.В. Методы компьютерного материаловедения и технология бетона // Будівельні конструкції. – Вип. 56: Сучасні проблеми бетону та його технологій. – К.: НДІБК, 2002. – С. 217-226.
2. Вознесенский В.А., Ляшенко Т.В., Довгань А.Д. Компромиссная многофакторная оптимизация гарантированного качества шлакошелочных вяжущих (максимизация прочности и морозостойкости, минимизация расхода ресурса). – Современ. промышлен. и граждан. строительство. – 2007, т. 3, №1. – С. 5-15.
3. Вознесенский В.А., Гаврилюк В.П., Ляшенко Т.В. Компьютерный поиск компромиссных параметров энергосберегающей технологии высококачественного газосиликата марки Д500 // Сучасні тенденції розвитку і виробництва силікатних матеріалів: 2-а конф. – Львів, 2008. – С. 12-15.
4. Моделирование технологии и свойств газосиликата: исследование взаимосвязей между параметрами технологии и показателями свойств газосиликата по девятифакторному плану Рехтшафнера / К.К. Экуссон, А.Э. Кильксон, И.Ю. Экуссон и др. // Производство и применение силикатных бетонов: НИПИсиликатбетон – Таллин, 1985. – С. 5-34.
5. Автоклавный газобетон: Девятифакторное квадратичное моделирование (1981-85) и компьютерное материаловедение (2007-08) / Вознесенский В.А., Гаврилюк В.П., Керш В.Я. и др. // Компьютерное материаловедение и прогрессивные технологии: Мат-лы международ. семинара МОК'47. – Одесса: Астропринт, 2008. – С. 97-104